

**МЕЖПРИМЕСНАЯ РЕКОМБИНАЦИЯ ДЫРОК
ЧЕРЕЗ A^+ -СОСТОЯНИЯ
В СЛАБО КОМПЕНСИРОВАННОМ p -Si**

Ждан А. Г., Мельников А. П., Рыльков В. В.

Исследована кинетика примесной фотопроводимости (ПФП) образцов Si $\langle B \rangle$ с концентрацией бора $N_a = (1 \div 7) \cdot 10^{16} \text{ см}^{-3}$ и степенью компенсации $K < 10^{-3}$. Измерения ПФП проводились в области температур $4.2 \div 18 \text{ K}$ при слабой фоновой подсветке полупроводника. Обнаружено, что в образцах Si $\langle B \rangle$ с $N_a \geq 4 \cdot 10^{16} \text{ см}^{-3}$ нейтральные атомы бора играют роль как уровней прилипания, так и уровней непрямой рекомбинации; последняя доминирует в области температур $4.2 \div 5 \text{ K}$. В результате на кривых релаксации ПФП при $T < 6 \text{ K}$ возникает область быстрого спада, амплитуда которого растет с понижением температуры. По величине постоянной времени медленной релаксации ПФП определены коэффициенты непрямой рекомбинации дырок через примесные A^+ -состояния нейтральных атомов бора, а по соотношению амплитуд быстрой и медленной составляющих релаксации ПФП найдено отношение подвижностей дырок в валентной и примесной зонах.

При описании кинетики примесной фотопроводимости (ПФП) полупроводников, содержащих мелкие уровни прилипания, принято считать [1], что спад ПФП описывается экспоненциальным законом с постоянной времени (рассматривается дырочный полупроводник)

$$\tau_{rl} = \tau \left[1 + \frac{M}{N_e} \exp \left(-\frac{\epsilon}{kT} \right) \right], \quad (1)$$

где τ — стационарное время жизни фотодырок, M , ϵ — концентрация и глубина уровней прилипания, N_e — эффективная плотность состояний в валентной зоне, k — постоянная Больцмана, T — температура.

Исследования кинетики ПФП, проведенные на p -Si с концентрацией бора $N_a = (1 \div 7) \cdot 10^{16} \text{ см}^{-3}$ и степенью компенсации $K < 10^{-3}$, показали, что в области температур $7 \div 18 \text{ K}$ кинетика ПФП хорошо описывается соотношением (1) и что в качестве «быстрых» уровней прилипания выступают нейтральные акцепторы, образующие в результате захвата фотодырок A^+ -центры [2].

В настоящей работе было обнаружено, что при понижении температуры измерений (вплоть до 4.2 K) на кривых релаксации ПФП Si $\langle B \rangle$ с $N_a \geq 4 \cdot 10^{16} \text{ см}^{-3}$ возникает область быстрого спада, амплитуда которого растет с понижением T , а зависимость $\tau_{rl}(T)$, следующая из (1), нарушается. Далее приводятся соответствующие экспериментальные данные, которые анализируются на основе уравнений кинетики ПФП, учитывающих непрямой канал рекомбинации дырок через примесные A^+ -состояния, на возможность существования которого было указано в [3].

Из рис. 1, 2 видно, что четкая область быстрого спада фототока, а также особенности зависимости $\tau_{rl}(T)$ проявляются в образцах с $N_a \geq 4 \cdot 10^{16} \text{ см}^{-3}$. Наклоны линейных участков зависимостей $\ln(\tau_{rl} T^q / J_s) - 1/T$ (J_s — стационарный фототок) для этих образцов заметно больше, чем для образца 1 с $N_a = 1.3 \cdot 10^{16} \text{ см}^{-3}$ (рис. 3). Поскольку $\ln(\tau_{rl} T^q / J_s) = \text{const} + \ln(\tau_{rl} T^q / \tau)$ [2], учитывая (1), можно заключить, что увеличение наклона графиков рис. 3 с возрастанием N_a связано с ростом глубины уровней прилипания ϵ . Существенно заметить, что значение $\epsilon = 1.75 \text{ мэВ}$ для образца 1 (рис. 3) близко к величине

энергии связи дырки в изолированном A^+ -центре атома бора [4]. Наблюдаемый на кривых 2, 3 (рис. 3) с понижением температуры переход от линейной зависимости $\ln(\tau_{rl} T^{3/2}/J_s) - 1/T$ к сублинейной указывает на несправедливость

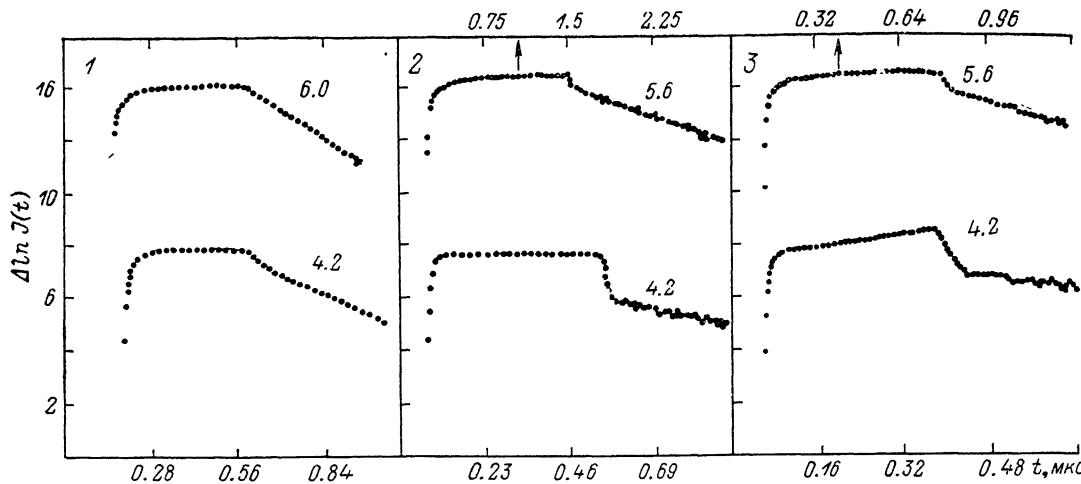


Рис. 1. Кинетика релаксации ПФП $J(t)$ в кремнии, легированном бором, при различных температурах.

$N_a \cdot 10^{-10}$, см $^{-3}$: 1 — 1.3, 2 — 4.5, 3 — 7.1; $N_d \cdot 10^{-12}$, см $^{-3}$: 1 — 2.9, 2 — 1.04, 3 — 2.2. Номера образцов указаны в левом верхнем углу рисунка. Цифры у кривых — T , К.

соотношения (1) в области низких температур ($T < 7$ К). Следовательно, при $T < 7$ К нейтральные акцепторы нельзя рассматривать как центры прилипания. На рис. 3 на примере образца 2 показана также слабая зависимость

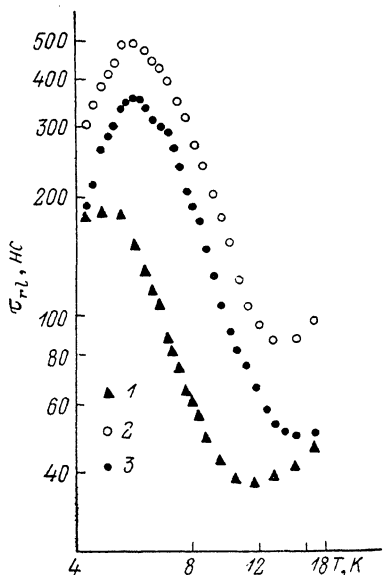


Рис. 2. Температурные зависимости времени релаксации ПФП для образцов 1—3 (см. рис. 1) в различных электрических полях.

ϵ , В/см: 1 — 19, 2 — 50, 3 — 75.

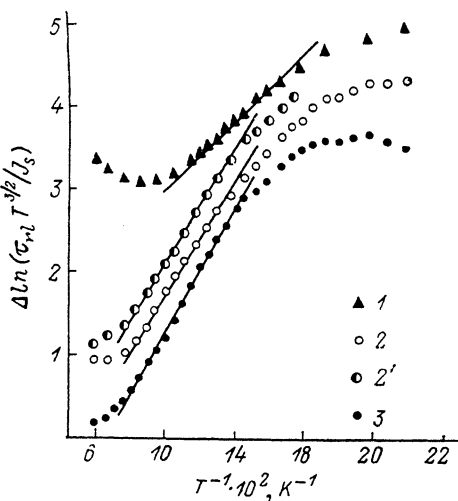


Рис. 3. Зависимости $\ln(\tau_{rl} T^{3/2}/J_s) - 1/T$ для образцов 1—3 (см. рис. 1).

Кривая 2' (образец 2) получена при $\epsilon = 10$ В/см. Глубина уровней прилипания ϵ , определенная по на-
клону линейных участков этих зависимостей, мэВ:

1 — 1.75, 2, 2' — 3.0, 3 — 3.3.

результатов измерений от приложенного к образцам электрического поля ϵ : температура перехода от линейного участка к сублинейному участку зависимости $\ln(\tau_{rl} T^{3/2}/J_s) - 1/T$ и значение ϵ практически не изменяются при увеличении поля в 5 раз. Тем не менее конкретные значения в каждом эксперименте

выбирались предельно низкими, допускаемыми чувствительностью измерительной установки [5].

Рассмотренные факты качественно коррелируют с развивающимися в [2] представлениями о делокализации уровней прилипания (A^+ -состояний) по мере увеличения N_a . Действительно, согласно [2, 4], делокализация A^+ -состояний сопровождается увеличением ε . С другой стороны, увеличение перекрытия волновых функций соседних состояний с ростом N_a облегчает перемещение дырок по этим состояниям к притягивающим A^- -центрам, что создает дополнительный канал рекомбинации — непрямой сток дырок на отрицательно заряженные акцепторы [3]. В результате отношение интенсивностей тепловой генерации дырок с A^+ -состояний и оптической — с нейтральных центров уменьшается и при выключении фотовозбуждения на кривой релаксации ПФП возникает область быстрого спада, амплитуда которого с понижением температуры становится все больше за счет прогрессивного уменьшения термоактивационного потока дырок с A^+ -состояний.

Уравнения кинетики ПФП с учетом наличия канала непрямой рекомбинации имеют вид

$$\begin{aligned} dp/dt &= G + p_t \alpha^0 p_1 - p \alpha^- (N_d + p + p_t) - p \alpha^0 N_a^0, \\ dp_t/dt &= p \alpha^0 N_a^0 - p_t \alpha^0 p_1 - p_t (N_d + p + p_t) \alpha_n, \end{aligned} \quad (2)$$

где p — концентрация фотодырок, G — темп их оптической генерации, p_t — концентрация дырок, захваченных на нейтральные акцепторы, α^0 , α^- — коэффициенты захвата дырок на нейтральные и отрицательно заряженные акцепторы соответственно, N_d — концентрация компенсирующих доноров, равная концентрации отрицательно заряженных акцепторов, $N_a^0 = N_a - N_d - p - 2p_t$ — концентрация нейтральных акцепторов ($N_a^0 \approx N_a$ вследствие малой степени компенсации полупроводника), α_n — коэффициент непрямой рекомбинации, $p_1 = N_a \exp(-\varepsilon/kT)$.

При низких уровнях фотовозбуждения ($N_d \gg p + p_t$) решение системы уравнений (2) суть

$$\begin{aligned} p(t) &= P_1 \exp(-t/\tau_{rr}) + P_2 \exp(-t/\tau_{rl}), \\ p_t(t) &= P_{t1} \exp(-t/\tau_{rr}) + P_{t2} \exp(-t/\tau_{rl}), \\ (\tau_{rr}, l)^{-1} &= \frac{\alpha^- N_d + \alpha^0 N_a + \alpha^0 p_1 + \alpha_n N_d}{2} \pm \\ &\pm \left[\frac{(\alpha^- N_d + \alpha^0 N_a + \alpha^0 p_1 + \alpha_n N_d)^2}{4} - \alpha^- N_d (\alpha^0 p_1 + \alpha_n N_d) - \alpha^0 N_a \alpha_n N_d \right]^{1/2}, \\ P_1 &= \frac{p_0 [N_d \alpha^- + N_a \alpha^0 - (\tau_{rl})^{-1}] - p_{t0} \alpha^0 p_1}{(\tau_{rr})^{-1} - (\tau_{rl})^{-1}}, \\ P_2 &= \frac{p_0 [(\tau_{rr})^{-1} - N_d \alpha^- - N_a \alpha^0] + p_{t0} \alpha^0 p_1}{(\tau_{rr})^{-1} - (\tau_{rl})^{-1}}, \\ P_{t1} &= \frac{p_{t0} [\alpha^0 p_1 + N_d \alpha_n - (\tau_{rl})^{-1}] - p_{t0} \alpha^0 N_a}{(\tau_{rr})^{-1} - (\tau_{rl})^{-1}}, \\ P_{t2} &= \frac{p_0 \alpha^0 N_a - p_{t0} [\alpha^0 p_1 + \alpha_n N_d - (\tau_{rr})^{-1}]}{(\tau_{rr})^{-1} - (\tau_{rl})^{-1}}. \end{aligned} \quad (3)$$

Здесь p_0 , p_{t0} — начальные значения концентраций свободных и захваченных дырок:

$$\begin{aligned} p_0 &= G \left(\alpha^- N_d + \frac{\alpha^0 N_a \alpha_n N_d}{\alpha^0 p_1 + \alpha_n N_d} \right)^{-1}, \\ p_{t0} &= p_0 \frac{\alpha^0 N_a}{\alpha^0 p_1 + \alpha_n N_d}. \end{aligned} \quad (4)$$

Выражения для постоянных времени спада ПФП («быстрого» — τ_{rr} и «медленного» — τ_{rl}) можно упростить, если учесть, что скорость захвата дырок на нейтральные акцепторы ($\alpha^0 N_a$) существенно превышает скорость их захвата на заряженные ($\alpha^- N_d$). Об этом свидетельствуют, в частности, данные, представленные на рис. 1—3: в области температур 8–18 К кинетика ПФП практически следует экспоненциальному закону с единственной постоянной времени τ_{rr} ,

а зависимость $\tau_{rl}(T)$ описывается выражением (1). Разумно также полагать, что тепловая скорость свободных дырок превышает скорость их движения по A^+ -состояниям в направлении к A^- -центрам, т. е. $\alpha_n < \alpha^-$. При этом

$$\begin{aligned}\tau_{rr} &= (\alpha^0 N_a + \alpha^0 p_1)^{-1}, \\ \tau_{rl} &= \tau \left(1 + \frac{\alpha^0 N_a}{\alpha^0 p_1 + \alpha_n N_d} \right)^{-1},\end{aligned}\quad (5)$$

где $\tau \equiv p_0/G = [\alpha^- N_d + \alpha^0 N_a \alpha_n N_d / (\alpha^0 p_1 + \alpha_n N_d)]^{-1}$ — стационарное время жизни фотодырок. Отсюда явствует, что при $\alpha^0 p_1 \gg \alpha_n N_d$ нейтральные центры будут наблюдательно проявляться как быстрые уровни прилипания, поскольку $P_1/P_2 = N_a (\alpha^0 N_a \alpha_n N_d + \alpha^- N_d \alpha^0 p_1) / p_1 (\alpha^0 N_a + \alpha^0 p_1)^2 \ll 1$, и выражение для τ_{rl} совпадает по форме с (1).

Если скорость теплового выброса дырок с уровней прилипания $\alpha^0 p_1$ станет меньше или порядка скорости непрямой рекомбинации $\alpha_n N_d$, возникнет иная ситуация: отношение $P_1/P_2 \simeq \alpha_n N_d / \alpha^0 p_1$ и на кривой кинетики релаксации ПФП должна проявиться область быстрого спада, амплитуда которого будет возрастать с уменьшением температуры. При этом на температурной зависимости $\tau_{rl}(T) \simeq \alpha^0 N_a / (\alpha N_a \alpha^0 p_1 + \alpha_n N_d \alpha^0 N_a)$ возникнет область насыщения, которая с понижением температуры перейдет в область спада $\tau_{rl}(T) \simeq [\alpha_n(T) N_d]^{-1}$. Это подтверждается данными рис. 2; температура перехода от насыщения к спаду лежит вблизи 5 К; α_n возрастает с уменьшением T приблизительно по закону $\alpha_n \propto T^{-2.3}$. Подчеркнем, что указанные обстоятельства позволяют непосредственно находить α_n по измеренным в области низких температур значениям τ_{rl} и концентрации компенсирующей примеси N_d . Найденные при 4.2 К таким путем значения α_n для образцов 2, 3 примерно одинаковы и равны $3.1 \cdot 10^{-6}$ и $2.4 \cdot 10^{-6}$ см³/с соответственно.

Таким образом, обнаруженные особенности кинетики ПФП хорошо объясняются с привлечением представлений о механизме непрямой рекомбинации дырок, включающем их захват на нейтральные акцепторы и движение по ним с последующим переходом на A^- -центры. Между тем необходимо отметить, что при количественном анализе температурной зависимости отношения амплитуды быстрой составляющей кинетики ПФП (C_r) к амплитуде медленной (C_l) возникают определенные противоречия. В частности, при 4.2 К отношение C_r/C_l оказывается явно заниженным по сравнению с отношением P_1/P_2 , определяющим кинетику спада концентрации фотодырок $p(t)$ ($P_1/P_2 \simeq \alpha_n N_d / \alpha^0 p_1$). Величину $\alpha_n N_d / \alpha^0 p_1$ можно найти, экстраполируя линейную часть функции $\ln(\tau_{rl} T^{1/2} / J_s) - 1/T$ в область низких температур и определяя в ней разность ΔF между значениями экстраполированной и экспериментальной функций; это дает $\alpha_n N_d / \alpha^0 p_1 = [\exp(\Delta F) - 1]$. Полученные таким образом для образцов 2, 3 при 4.2 К отношения P_1/P_2 составляют 7.8 и 21.3, тогда как измеренные по кривой кинетики спада ПФП отношения амплитуд C_r/C_l равны 3.7 и 3.4. Это может указывать на существенную роль дырочной проводимости по примесной A^+ -зоне в кинетике релаксации ПФП. С учетом примесной проводимости, используя (3), имеем

$$\frac{C_r}{C_l} = \frac{\mu P_1 + \mu_{im} P_{l1}}{\mu P_2 + \mu_{im} P_{l2}} \simeq \frac{\alpha_n N_d}{\alpha^0 p_1 + \alpha^0 N_d \mu_{im}/\mu}, \quad (6)$$

где μ , μ_{im} — подвижности дырок в валентной и примесной зонах соответственно. Подставляя в (6) значения $P_1/P_2 = 7.8$ и 21.3 при 4.2 К, получим $\mu_{im}/\mu = 1.5 \cdot 10^{-4}$ (образец 2) и $\mu_{im}/\mu = 1.4 \cdot 10^{-4}$ (образец 3), что согласуется с известными давними [6].

Авторы выражают признательность Е. М. Гершензону за полезные дискуссии.

Л и т е р а т у р а

- [1] Рыжкин С. М. Фотоэлектрические явления в полупроводниках. М., 1963. 494 с.
- [2] Ждан А. Г., Лифшиц Т. М., Рыльков В. В. — ФТП, 1987, т. 21, в. 2, с. 217—221.
- [3] Ворождова Л. А., Гершензон Е. М., Гурвич Ю. А., Имагилова Ф. М., Мельников А. П., Рабинович Р. И. — Письма ЖЭТФ, 1986, т. 43, в. 10, с. 480—482.

- [4] Гершензон Е. М., Мельников А. П., Рабинович Р. И., Серебрякова Н. А. — УФН, 1980, т. 132, в. 2, с. 353—378.
- [5] Ждан А. Г., Засавицкий И. И., Лифшиц Т. М., Рыльков В. В., Шотов А. П. — ПТЭ, 1985, № 6, с. 177—180.
- [6] Верожцова Л. А., Гершензон Е. М., Гурвич Ю. А., Исмагилова Ф. М., Литvak-Горская Л. Б., Мельников А. П. — ЖЭТФ, 1987, т. 93, в. 10, с. 1201—1211.

Институт радиотехники и электроники
АН СССР
Москва

Московский государственный
педагогический институт им. В. И. Ленина

Получена 27.07.1987
Принята к печати 9.10.1987